



**HAL**  
open science

## Qualité de service temps réel selon le modèle (m,k)-firm

Ye-Qiong Song, Anis Koubaa, Jian Li

► **To cite this version:**

Ye-Qiong Song, Anis Koubaa, Jian Li. Qualité de service temps réel selon le modèle (m,k)-firm. Nicolas Navet. Systèmes temps réel 2, Hermès - Lavoisier, 2006. inria-00114397

**HAL Id: inria-00114397**

**<https://inria.hal.science/inria-00114397>**

Submitted on 16 Nov 2006

**HAL** is a multi-disciplinary open access archive for the deposit and dissemination of scientific research documents, whether they are published or not. The documents may come from teaching and research institutions in France or abroad, or from public or private research centers.

L'archive ouverte pluridisciplinaire **HAL**, est destinée au dépôt et à la diffusion de documents scientifiques de niveau recherche, publiés ou non, émanant des établissements d'enseignement et de recherche français ou étrangers, des laboratoires publics ou privés.

## Chapitre 6

# Qualité de service temps réel selon le modèle (m,k)-firm

### 6.1. Introduction : Qualité de service temps réel et le modèle (m,k)-firm

Une exigence commune lors de la conception d'un système temps réel est la garantie de la Qualité de Service (QoS) temps réel. Selon la conséquence du non-respect de contraintes temps réel, les applications sont classifiées en temps réel dur et souple. Certaines applications temps réel souple sont aussi qualifiées temps réel « firm » selon le traitement ou non des actions dont le respect de leur échéance est impossible par le système (en cas de surcharge momentanée du système par exemple). Une application ayant des contraintes temps réel souple est dite « firm » si ses actions, dont l'échéance ne pouvant pas être respectée, sont rejetées par le système (non exécutées) car le traitement en retard de ces actions est considéré comme inutile, permettant ainsi de réduire de façon efficace la charge du système. Notons que ce soit pour des applications temps réel dur, souple ou « firm », la garantie peut être fournie de façon déterministe ou probabiliste.

Dans ce chapitre, nous nous intéressons à la conception d'une large classe d'applications temps réel « firm » : des applications multimédias temps réel sur l'Internet. Un exemple typique de cette classe d'applications est la transmission des paquets audio et vidéo. Deux caractéristiques communes sont la nécessité de délivrer ces paquets dans un temps borné et la tolérance de perte de paquets, jusqu'à une certaine limite à préciser, sans dégrader notablement la qualité de l'application. En

effet, il est même préférable dans certains cas (téléphonie IP par exemple) de rejeter des paquets en retard au niveau des routeurs à continuer à les transmettre car les paquets en retard sont tout simplement inutilisables.

Les solutions existantes proposées par Intserv ou Diffserv ne sont pas toujours efficaces vis à vis des applications temps réel globalement [EL 03] et « firm » en particulier. En effet, si la réservation de la bande passante selon le débit crête ou pire cas (technique de « over-provisionning ») d'un flux temps réel dur peut être acceptable, elle conduit à une sous-utilisation indésirable du réseau pour des flux temps réel « firm » car le contrôle d'admission ne peut admettre qu'une partie d'un ensemble de flux que le réseau aurait pu transmettre. D'un autre côté, si l'on réserve la bande passante selon le débit moyen d'un flux temps réel « firm » et rejette des paquets en retard en cas de surcharge momentanée du réseau, on peut arriver à une meilleure utilisation avec une dégradation de la QoS du réseau en terme d'un taux de rejet par flux. Mais seul le taux de rejet ne permet pas de juger si cette dégradation de la QoS est acceptable ou non par l'application. Par exemple, lors d'une conversation téléphonique via le service de voix sur IP, le rejet (ou perte) d'une longue séquence de paquets peut conduire à la perte d'une phrase vitale alors que ces pertes de paquets, si elles sont bien espacées dans le temps, peuvent être acceptables.

Dans ce chapitre, nous visons à proposer des mécanismes permettant une meilleure gestion de la QoS en exploitant le fait que la plupart des applications multimédias soient capables, dans une limite à identifier, de tolérer et/ou s'adapter à la variation de performances du système. Plus spécifiquement, nous cherchons, d'une part, des modèles permettant de spécifier la tolérance de la dégradation de la QoS des applications et d'autre part, des algorithmes d'ordonnement des paquets dans les réseaux afin de fournir la QoS de façon efficace.

Dans ce cas, le modèle  $(m,k)$ -firm [HAM 95] nous paraît intéressant pour spécifier plus précisément la tolérance de la dégradation de la QoS en terme du non-respect de l'échéance des paquets. Rappelons qu'une contrainte  $(m,k)$ -firm est définie sur un flux de paquets, périodique ou non. Elle exige qu'au moins  $m$  parmi  $k$  paquets consécutifs quelconques doivent être transmis par le réseau en respectant leur échéance, avec  $m \leq k$ . Le cas où  $m = k$  est équivalent du cas de temps réel dur, que nous notons aussi par  $(k,k)$ -firm dans la suite. Notons que le terme « firm » est employé ici dans le sens du temps réel « firm », c'est à dire qu'un paquet en retard ne sera pas transmis, ce qui permet de diminuer la charge du réseau. Si l'on considère qu'une application peut accepter une dégradation de service jusqu'à  $m$  paquets transmis avant l'échéance parmi  $k$  paquets consécutifs quelconques, un système peut alors être conçu selon l'approche  $(m,k)$ -firm pour offrir des niveaux de QoS variés entre  $(k,k)$ -firm (cas normal) et  $(m,k)$ -firm (pire dégradation encore acceptable) avec autant de niveaux intermédiaires correspondant aux différentes

valeurs possibles entre  $k$  et  $m$ . Ce qui résulte en un système avec la dégradation de la QoS contrôlée (« Graceful degradation »).

Que ce soit dans des réseaux ou des systèmes temps réel, l'ordonnancement des accès multiples à une ressource partagée se base essentiellement sur la notion de priorité. Il est clair que pour la prise en compte de la contrainte (m,k)-firm, des algorithmes d'ordonnancement nouveaux restent à développer et les algorithmes classiques tels que FP (Fixed Priority), EDF (Earliest Deadline First), WFQ (Weighted Fair Queueing) doivent être étendus.

L'objectif de ce chapitre est, d'une part, de donner un aperçu des possibilités de spécifier la tolérance de la dégradation de QoS des application temps réel « firm » selon le modèle (m,k)-firm ainsi que des algorithmes d'ordonnancement pour la garantie (déterministe ou probabiliste) temps réel (m,k)-firm, et d'autre part, d'illustrer l'applicabilité de ce modèle à travers d'un exemple de la gestion de la QoS de la transmission des flux vidéo selon le modèle (m,k)-firm.

Le reste de ce chapitre est organisé comme ce qui suit. La section 6.2 présente le modèle de partage de ressource, le concept de (m,k)-firm et ses variantes, ainsi qu'une discussion de leur utilisation pour spécifier la tolérance des application temps réel « firm ». La section 6.3 décrit quelques algorithmes représentatifs d'ordonnancement sous contrainte (m,k)-firm. La section 6.4 illustre l'intérêt d'utiliser le modèle (m,k)-firm en présentant l'algorithme (m,k)-WFQ, qui permet à un serveur WFQ (Weighted Fair Queueing) de prendre en compte plus efficacement des contraintes temporelles des flux multimédias. La section 6.5 analyse le problème général de l'ordonnancement des flux sous contraintes (m,k)-firm. Enfin, la section 6.6 discute les perspectives du modèle (m,k)-firm, notamment son utilisation possible dans des applications autres que multimédia, telles que des systèmes contrôlés en réseaux (Networked Control Systems, cf. Chapitre 3).

## 6.2. Concept de (m,k)-firm

### 6.2.1. *Modèle général de partage de ressource: MIQSS*

Considérons un modèle d'accès multiple à une ressource partagée que nous appelons MIQSS (Multiple Input Queues Single Server) dans la suite de ce chapitre. Nous cherchons à ordonner des demandes d'accès au serveur commun, tout en satisfaisant leurs contraintes temporelles et en optimisant le taux d'utilisation du serveur. Notons que dans le contexte de systèmes distribués temps réel, ce serveur peut modéliser un processeur pour les demandes d'exécution des tâches ou un médium de transmission (bande passante) de paquets. Nous employons dans la suite le terme générique *client* qui peut désigner une tâche ou un paquet. Afin que nos

résultats puissent être applicables à la transmission de paquets où la préemption est en général non réalisable, seul le cas *non-préemptif* est considéré.

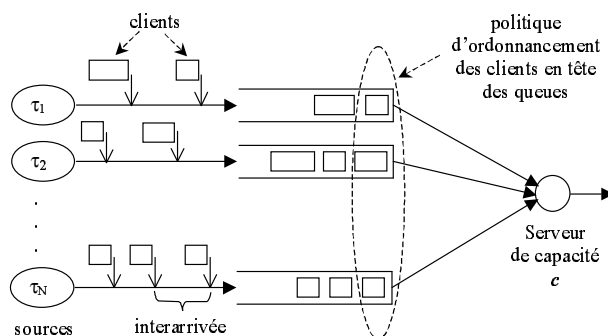


Figure 6.1 Modèle MQSS

Une source  $\tau_i$  est caractérisée par sa fonction de flux d'arrivée  $F_i$ . Dans cette étude, cette fonction peut être :

- **Périodique ou sporadique**: décrit par  $(C_i, T_i)$  dans le cas d'une date initiale quelconque d'arrivée du premier client et  $(r_i, C_i, T_i)$  dans le cas d'une date initiale fixe  $r_i$ , où  $C_i$  est le temps de service d'un client dans le serveur et  $T_i$  la période d'inter-arrivée (ou d'inter-arrivée minimale dans le cas sporadique).

- **Périodique avec gîges** :  $(C_i, T_i, J_i)$  ou  $(r_i, C_i, T_i, J_i)$ . Où  $J_i$  représente le déphasage maximum de l'instant d'arrivée d'un client par rapport à la période.

- **$(\sigma_i, \rho_i)$ -borné** : une courbe linéaire caractérisée par une taille de rafale  $\sigma_i$  et un débit moyen  $\rho_i$  qui majore la vraie fonction cumulative d'arrivée du travail [LEB 02], [CHA 00]. La quantité du travail apportée par un client est définie par  $W_i$  avec notamment  $C_i = W_i / c$  où  $c$  représente le débit du serveur.

Dans la suite, les contraintes temps réel sont toujours données par  $(D_i, m_i, k_i)$  où  $D_i$  est l'échéance relative à l'instant d'arrivée d'un client et  $(m_i, k_i)$  sont les deux paramètres de la contrainte  $(m_i, k_i)$ -firm.

### 6.2.2. Expression de contraintes $(m,k)$ -firm et WHRT

Une source sous contrainte temps réel  $(m, k)$ -firm peut se trouver dans l'un des deux états : normal et échec transitoire (*dynamic failure*) [HAM 95]. La connaissance de son état à l'instant  $t$  dépend de l'historique du traitement des  $k$  derniers clients générés par la source. Si l'on associe ' $l$ ' à un client respectant son

échéance et '0' à un client ratant son échéance, cet historique est alors entièrement décrit par une suite de  $k$  bits appelée une  $k$ -séquence. La figure 6.2 donne un exemple de (2,3)-firm avec par convention le déplacement vers la gauche des bits.

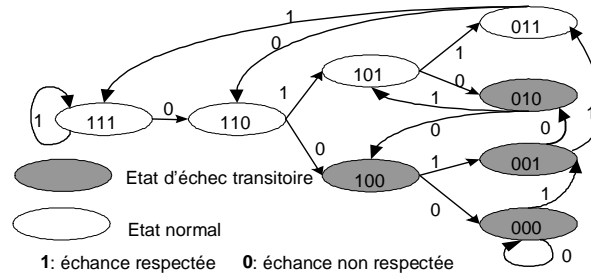


Figure 6.2. Diagramme d'état-transition d'une source avec (2,3)-firm

Dans un système qui peut être modélisé par MIQSS, on peut définir l'état du système à un instant  $t$  à partir des états des sources du même instant. Un système est dit en état d'échec transitoire si au moins une de ses sources est en échec transitoire (une sorte de ET logique entre les états de l'ensemble de sources).

Une source peut exprimer sa contrainte (m,k)-firm en spécifiant simplement la valeur des deux paramètres :  $m$  et  $k$ .

Afin de faciliter l'expression des contraintes du type (m,k)-firm mais avec plus de précision sur la répartition des  $m$  parmi les  $k$  clients consécutifs, [BER 97] et [BER 01] ont enrichi ce modèle (m,k)-firm en proposant trois autres formes qui correspondent à la complémentarité et la consécutive :

- $(\overline{m}, \overline{k})$ -firm : au plus  $m$  clients avec échéance non respectée dans une fenêtre quelconque de  $k$  arrivées consécutives
- $\langle m, k \rangle$ -firm : au moins  $m$  clients consécutifs avec échéance respectée dans une fenêtre quelconque de  $k$  arrivées consécutives
- $\langle \overline{m}, \overline{k} \rangle$ -firm : au plus  $m$  clients consécutifs avec échéance non respectée dans une fenêtre quelconque de  $k$  arrivées consécutives

La notion de (m,k)-firm est alors généralisée et une source sous ces formes de contraintes est dite sous contrainte WHRT (Weakly-Hard Real-Time) [BER 01]. Néanmoins il convient de remarquer que certaines de ces formes peuvent toujours être exprimées sous forme de (m,k)-firm :

- $(\bar{m}, \bar{k})$ -firm : équivalente à  $(k-m, k)$ -firm
- $\langle m, k \rangle$ -firm : pas d'équivalence dans  $(m, k)$ -firm
- $\langle \bar{m}, \bar{k} \rangle = \langle \bar{m} \rangle$  : en fait il est facile de constater qu'avec  $\langle \bar{m}, \bar{k} \rangle$ , on ne peut jamais avoir plus de  $m$  clients consécutifs avec échéance non respectée quelque soit la taille de  $k$  pourvu que  $m < k$ . De plus une source respectant  $(m, k)$ -firm inclut le cas particulier de  $\langle \bar{k-m} \rangle$ .

Notons que la  $k$ -séquence réalisée par un algorithme d'ordonnement n'est pas nécessairement répétitive. On parle alors de  $k$ -séquence dynamique.

Un cas particulier d'expression de contrainte  $(m, k)$ -firm est la spécification d'une  $k$ -séquence fixe appelée un  $\kappa$ -pattern (ou  $(m, k)$ -pattern [QUA 00]). Cette technique s'inspire du modèle de calcul imprécis [CHU 90] où une tâche est composée d'une partie critique et d'une partie optionnelle. Le  $\kappa$ -pattern d'une source ayant une contrainte temporelle  $(m, k)$ -firm est défini par la succession de  $k$  éléments de l'alphabet  $\{0, 1\}$  où '0' indique une demande de traitement optionnelle et '1' une demande critique avec  $\sum_{i=1}^k \pi_i = m$  où  $\pi_i$  est le  $i^{\text{ème}}$  élément du  $\kappa$ -pattern pour  $1 \leq i \leq k$ .

En répétant continuellement le  $\kappa$ -pattern, on classe les demandes de traitement des clients d'un flux (ou une source) en deux catégories : optionnelle et critique. Il est facile de prouver qu'il suffit de traiter avec succès toutes les demandes critiques (les  $m \ll 1$ ) pour satisfaire la contrainte  $(m, k)$ -firm (voir [RAM 99], Théorème 1). Notons que la réciproque n'est pas vraie car une garantie  $(m, k)$ -firm n'a pas objectif de produire une  $k$ -séquence fixe. Les demandes optionnelles peuvent être traitées quand le serveur n'est pas occupé ou rejetées si leur échéances ne peuvent pas être respectées par le serveur.

De ce fait, le  $n^{\text{ème}}$  client (ou demande de traitement) d'un flux ayant la contrainte temporelle  $(m, k)$ -firm est considéré comme étant un client critique si et seulement s'il satisfait la relation suivante :

$$\pi_{(n \% k)} = 1 \quad [6.1]$$

avec  $n \% k$  le reste de la division de  $n$  modulo  $k$ .

L'utilisation d'un  $\kappa$ -pattern fixe a l'avantage de ramener le problème de l'analyse d'ordonnabilité du système  $(m, k)$ -firm à celui de l'analyse d'ordonnabilité classique. Par exemple quand tous les clients critiques sont ordonnancés sous la politique FP (fixed priority) et les clients optionnels ont la

priorité la moins élevée, l'analyse d'ordonnabilité est donnée dans [RAM 99]. L'application de cette classification peut être utile dans le domaine du multimédia. En effet, ce concept peut être appliqué à un flux de paquets vidéos pour sélectionner les paquets critiques dans un GOP (Group of Pictures) en utilisant le standard de compression MPEG [Furht99]. Par exemple, un flux compressé utilisant la structure du GOP suivante [IPBBPBBPBB], où les paquets I (Intra images) et P (Predicted images) sont plus importants que les paquets B (Bi-directional predicted/interpolated images), peut être considéré comme étant un flux ayant des contraintes temporelles de type (4,10)-firm et spécifié par le  $\kappa$ -pattern suivant  $\{\pi_{i(1 \leq i \leq k)}\} = \{1100100100\}$ . Ce  $\kappa$ -pattern marque les paquets des trames I et P comme critiques et les paquets des trames B comme optionnels, en se basant sur le critère d'importance relative des trames MPEG [ISO 03]. Il convient de noter que le choix du meilleur marquage dépend de la nature des sources de flux. L'étude plus détaillée sur ce sujet sort du cadre de ce chapitre. Le lecteur intéressé peut trouver plus de détails dans [ISO 03] pour guider le choix du marquage. Par conséquent, en cas de surcharge où il est impossible d'assurer les échéances de tous les paquets d'un flux MPEG, une des possibilités pour limiter la dégradation de la QoS est de garantir la livraison à temps des trames I et P, si possible, au détriment des trames B. Une étude similaire sur l'effet de perte sur les flux audio est présentée dans [BOL 95]. En spécifiant pour chaque flux sa contrainte (m,k)-firm, le respect de  $m$  parmi une fenêtre de  $k$  paquets consécutifs permettrait de maintenir une QoS acceptable en évitant de rater les échéances consécutives. En général, le rejet des paquets adéquats selon un profil de perte autorisé bien défini, permet de réduire la charge du système et résulte en une transmission accélérée des paquets en attente.

Une fois la contrainte WHRT spécifiée, on peut alors passer à l'étape de recherche d'algorithmes d'ordonnement pour que la contrainte soit respectée (de façon déterministe ou probabiliste).

### 6.3. Algorithmes d'ordonnement sous contrainte (m,k)-firm

Il existe aujourd'hui principalement deux familles d'algorithmes qui prennent en compte (m,k)-firm: dynamique (par exemple DBP [HAM 95]: Distance Based Priority) et statique (par exemple EFP [RAM 99]: Enhanced Fixed Priority). Par algorithme dynamique nous voulons dire que la priorité affectée à chaque client est ajustée automatiquement en fonction de l'état du système (en particulier de la  $k$ -séquence des sources) à l'instant  $t$ . Tandis qu'une affectation statique de priorité est basée sur un paramètre fixe (taux  $m/k$  par exemple).

Un algorithme dynamique a l'avantage de permettre au système de s'adapter aux changements de situation (variation de flux, de capacité du serveur, ...). Il convient à la gestion en-ligne de la QoS. Le problème est que l'analyse d'ordonnabilité est



souvent difficile à réaliser. C'est le cas de DBP et de la première version de DWCS (Dynamic Window Constrained Scheduling) [WES 00]. L'analyse d'ordonnabilité de DBP est effectuée dans [LI 04]. Une version améliorée de DWCS [WES 04] permet de donner une garantie déterministe de  $m$  sur  $k$  sous des conditions particulières (même  $C_i$  pour toutes les sources). *A contrario*, un algorithme statique permet une vérification hors-ligne du système et garantit de façon déterministe le respect de  $m$  sur  $k$  échéances dans le cas où le système ne violerait pas les hypothèses du pire cas.

Dans ce qui suit nous expliquons le principe de DBP, DWCS et EFP.

### 6.3.1. DBP (Distance Based Priority)

DBP [HAM 95] est la façon la plus directe pour la prise en compte de la contrainte (m,k)-firm. Pour une k-séquence donnée, DBP définit à chaque début du service d'un client la distance d'aller à un état d'échec transitoire comme le nombre consécutif de bits 0 à ajouter pour atteindre cet état. La priorité que DBP donne au client en tête de la queue correspondante à la k-séquence est égale à cette distance. Si la source se trouve déjà en état d'échec transitoire (i.e., moins de  $m-1$  dans la k-séquence), la plus haute priorité 0 est affectée. Par exemple, pour une source sous contrainte (3,5)-firm, le client en tête de la queue est de priorité 2 si les 5 clients précédents forment une k-séquence (11011), il est de priorité 3 si les 5 clients précédents forment une k-séquence (10111).

Formellement, selon [Hamdaoui95] la priorité est évaluée comme suit. Nous notons par  $s_j = (\delta_{i-k_j+1}^j, \dots, \delta_{i-1}^j, \delta_i^j)$  la k-séquence de la source  $\tau_j$ , par  $l_j(n, s)$  la position (en comptant à partir de droite) de la  $n^{\text{ième}}$  échéance respectée (ou 1) dans  $s_j$ , la priorité du  $(i+1)^{\text{ème}}$  client de  $\tau_j$  est donnée par :

$$P\_DBP_{i+1}^j = k_j - l_j(m_j, s_j) + 1 \quad [6.2]$$

Notons que lorsqu'il y a moins de  $n-1$  dans  $s$ , alors  $l_j(n, s) = k_j + 1$ , afin que la plus haute priorité (= 0) soit affectée.

La figure 6.3 schématise comment DBP est utilisé pour l'affectation de priorité. Cette politique d'affectation dynamique de priorité peut être facilement et efficacement implémentée en matériel car l'historique de chaque source peut être stocké dans un registre de  $k_j$  bits.

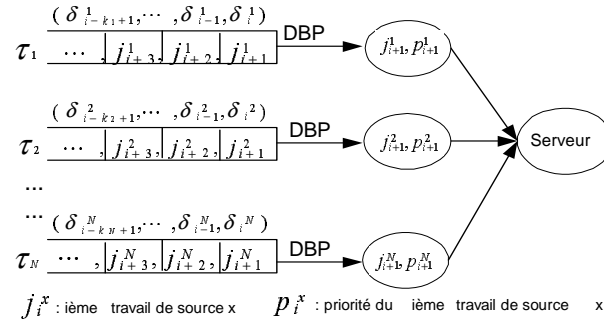


Figure 6.3. DBP pour l'affectation de priorité des clients en tête des queues

Le serveur choisit les clients présents en tête des queues selon leur priorité. Dans le cas d'égalité de priorité parmi les clients à choisir, EDF (Earliest Deadline First) est utilisée par défaut. Nous notons par DBP-EDF ce système.

### 6.3.2. DWCS (Dynamic Window Constrained Scheduling)

L'algorithme DWCS a été conçu dans [WES 00] pour maximiser l'utilisation de la bande passante du réseau en cas de surcharge pour des flux temps-réel tolérant aux pertes. Dans le pire des cas, il se charge de garantir la contrainte de type  $(2x, x + y)$ -firm, c'est-à-dire, pas plus que  $2x$  dépassements d'échéances dans n'importe quelle fenêtre de  $x+y$  paquets consécutifs tout en ayant la capacité de partager la bande passante entre les paquets des flux en compétition en proportion de leurs échéances et tolérances aux pertes, avec  $x$  représente le nombre de paquets qui pourraient être perdus (ou transmis en retard) pour chaque fenêtre fixe de taille  $y$  paquets consécutifs. DWCS est développé pour être employé comme une alternative à EDF dans des conditions de surcharge, étant donné que les performances de EDF se dégradent sérieusement pour une charge supérieure à un.

Cet algorithme nécessite deux attributs par flux pour assurer l'ordonnancement des paquets :

- L'échéance  $D_i$  : elle est définie comme étant le temps maximum entre le service de deux paquets consécutifs au sein d'un même flux. Dans le cas d'un flux périodique, l'échéance  $D_i$  d'un flux  $\tau_i$  est égale à sa période  $T_i$ .
- La contrainte de fenêtre fixe: elle est aussi appelée *facteur de tolérance aux pertes*. Elle est spécifiée par la valeur  $W_i = x_i/y_i$  où  $x_i$  représente le nombre maximum de paquets perdus (ou transmis en retard) pour chaque fenêtre fixe de taille  $y_i$  paquets consécutifs.

Bien que DWCS s'intéresse à une fenêtre fixe, cette contrainte peut inclure le cas de fenêtre glissante du modèle (m,k)-firm. Dans [West04], il a été montré que cette contrainte  $(x,y)$  permet, au pire (quand les  $x$  paquets perdus se trouvent à la fin d'une fenêtre de taille  $y$  et les  $x$  autres paquets se perdent au début de la fenêtre suivante), de garantir le respect de  $(\overline{2x}, x+y)$ -firm. Comme DBP, DWCS maintient l'information d'état par flux mais l'utilisation de cette information diffère significativement de DBP. En effet, DBP affecte la priorité relative à un flux en se basant sur l'historique des  $k$  derniers clients, alors que DWCS utilise la notion de la fenêtre fixe dans laquelle  $x$  et  $y$  changent de valeurs au cours du temps selon un algorithme que nous expliquons par la suite.

DWCS choisit les paquets à servir en fonction de leurs échéances ainsi que leurs facteurs de tolérance aux pertes. Dans [WES 00], l'affectation de priorité selon la première version de DWCS (DWCS<sup>1</sup>) se résume en six règles et est présentée dans le tableau suivant.

<b>1</b>	Choisir le paquet avec la plus petite contrainte de fenêtre ( <i>plus petit facteur de tolérance aux pertes</i> ) $= \min_{i=1..N} (W_i = x_i / y_i)$ avec $y_i \neq 0$
<b>2</b>	S'il existe $1 \leq i, j \leq N / W_i = W_j \neq 0$ , alors servir avec EDF $= \min_{n=1..N} (D_n)$
<b>3</b>	S'il existe $1 \leq i, j \leq N / W_i = W_j \neq 0$ et $D_i = D_j$ , alors servir le paquet ayant le plus petit numérateur de la contrainte de fenêtre $= \min_{i=1..N} (x_i)$
<b>4</b>	Si $W_i = W_j = 0$ et $y_i = y_j = 0$ , alors servir avec EDF $= \min_{n=1..N} (D_n)$
<b>5</b>	Si $W_i = 0$ , alors servir le paquet ayant le plus grand dénominateur de la contrainte de fenêtre $= \max_{n=1..N} (y_n)$
<b>6</b>	Tous les autres cas sont traités par FIFO

**Tableau 6.1.** Exemple de légende

Nous observons que si deux paquets ont les mêmes valeurs de facteurs de tolérance aux pertes et les mêmes valeurs d'échéances, alors les paquets sont servis

dans l'ordre croissant des  $x_i$  où  $x_i/y_i$  représente la valeur *courante* du facteur de tolérance aux pertes pour tous les paquets du  $i^{\text{ème}}$  flux. Ainsi, la priorité est affectée au paquet du flux ayant la contrainte de perte la plus étroite afin d'éviter des pertes consécutives de paquets. Si les facteurs de tolérance ainsi que les dénominateurs  $y_i$  des deux paquets sont nuls, alors les paquets sont servis dans l'ordre croissant de leurs échéances ; Sinon, si les dénominateurs  $y_i$  sont non nuls, alors le paquet ayant la plus grande valeur du dénominateur de la contrainte de fenêtre sera affecté la plus haute priorité.

Chaque fois qu'un paquet du flux  $i$  est transmis, la contrainte de fenêtre du  $i^{\text{ème}}$  flux est ajustée. De même, les contraintes de fenêtre des autres flux sont ajustées dans le cas où il existerait des paquets de ces flux qui ont dépassé leurs échéances.

Pour les flux tolérant les pertes de paquets, les paquets ayant raté leurs échéances sont tout simplement rejetés. Pour les flux ne tolérant pas de pertes de paquets, les échéances servent à réduire le délai d'attente dans les files avant leur transmission. La valeur du facteur de tolérance sert dans ce cas à éviter un retard excessif des paquets de tel flux.

Les contraintes  $x$  et  $y$  sont ajustées au cours du temps en fonction des échéances si elles sont ratées ou non. Considérons un flux  $i$  ayant la contrainte de fenêtre originale  $W_i = x_i/y_i$  à l'instant initial. Notons par  $W'_i = x'_i/y'_i$  la contrainte de fenêtre courante. Si le paquet du flux  $i$  est transmis avant le dépassement de son échéance, les contraintes  $x'_i$  et  $y'_i$  sont ajustées de la façon suivante :

$$\begin{cases} \text{si } (y'_i > x'_i) \text{ alors } y'_i = y'_i - 1 \\ \text{si } (x'_i = y'_i = 0) \text{ alors } x'_i = x_i ; y'_i = y_i \end{cases}$$

Cependant, pour tous les paquets des autres flux en attente, si un paquet du flux  $j / j \neq i$  rate son échéance, alors les contraintes sont ajustées selon la règle suivante:

$$\left\{ \begin{array}{l} \text{Si } (x'_j > 0) \text{ Alors} \\ \quad \left\{ \begin{array}{l} x'_j = x'_j - 1; y'_j = y'_j - 1; \\ \text{Si } (x'_j = y'_j = 0) \text{ Alors } x'_j = x_j; y'_j = y_j \end{array} \right. \\ \text{Sinon Si } (x'_j = 0) \text{ Alors} \\ \quad \left\{ \begin{array}{l} \text{Si } (x_j > 0) \text{ Alors } y'_j = y'_j + \left\lceil \frac{y_j + x_j}{x_j} \right\rceil \\ \text{Si } (x_j = 0) \text{ Alors } y'_j = y'_j + y_j \end{array} \right. \end{array} \right.$$

Donc à chaque fois qu'une échéance du flux  $j$  est ratée, le facteur de tolérance aux pertes de ce flux est ajusté de façon à lui donner plus d'importance dans le prochain tour de sélection de paquet. Cette approche évite le problème de famine en affectant des priorités plus élevées aux flux qui sont susceptibles de violer leurs contraintes de fenêtre initiales. Inversement, un paquet du flux  $i$  est servi avec respect de son échéance, conduit à la diminution du facteur de tolérance des autres flux réduisant ainsi sa priorité aux prochains tours.

Récemment, West et al. proposent dans [WES 04] la deuxième version de DWCS (DWCS<sup>2</sup>). La différence principale avec la première version est que les deux premières lignes du tableau 6.1 sont inversées. Dans la deuxième version de DWCS, la première règle d'affectation de priorité est identique à EDF, i.e. le paquet ayant la plus petite échéance est le plus prioritaire. La deuxième règle dans DWCS<sup>2</sup> fait recours à une comparaison des contraintes de fenêtre lorsque les échéances sont égales. West et al. expliquent que le changement de l'ordre des règles est dû à l'optimalité de EDF dans des conditions de charge normale pour respecter les échéances et par conséquent les contraintes de fenêtre. Cependant, l'algorithme DWCS<sup>1</sup> reste toujours plus performant que EDF dans des conditions de surcharge où il est impossible de respecter toutes les échéances.

Dans [WES 04], les auteurs étudient les caractéristiques temporelles de DWCS<sup>2</sup> et montre analytiquement que, dans le cas où il existerait un ordonnancement faisable pour un ensemble de flux périodiques, les délais des flux en service sont toujours bornés même en situation de surcharge. En effet, il a été montré que le délai garanti à chaque flux est indépendant des autres flux en service même en situation de surcharge. De plus, les résultats de simulation montrent que DWCS et DBP ont des performances similaires en termes de nombre d'échéances ratées et de violation de la contrainte de fenêtre. Enfin, une implémentation sous Linux de DWCS est téléchargeable à partir du site de l'auteur.

### 6.3.3. EFP (Enhanced Fixed Priority)

EFP est proposé dans [HAM 97], [RAM 99]. Pour prendre en compte la contrainte (m,k)-firm, il suffit que chaque source définisse un  $\kappa$ -pattern et marque parmi ses  $k$  clients consécutifs  $m$  clients *critiques* et  $k-m$  clients *optionnels*. En faisant ainsi le serveur pourra rejeter un client optionnel en cas de surcharge (c'est à dire au cas où son échéance ne peut plus être respectée par le serveur). Tous les clients critiques peuvent être ordonnancés par un algorithme à priorité fixe tel que RM (Rate Monotonic). Les clients optionnels sont servis avec la priorité la plus basse selon la politique FIFO. Le problème revient donc à définir un  $\kappa$ -pattern. Pour commencer le marquage, le premier client de chaque source est marqué critique par défaut. Pour une source  $\tau_i$ , le marquage des clients critiques et optionnels selon sa contrainte (m<sub>i</sub>,k<sub>i</sub>)-firm est alors entièrement donné par l'équation suivante.

Le  $n^{\text{ième}}$  client ( $n = 0, 1, \dots$ ) est marqué critique si  $n$  vérifie :  $n = \left\lfloor \left\lceil \frac{n \times m}{k} \right\rceil \times \frac{k}{m} \right\rfloor$

Ce qui donne comme  $\kappa$ -pattern suivant (pour  $i=1, 2, \dots, k$ ) :

$$\pi_i = \begin{cases} 1 & \text{si } i = \left\lfloor \left\lceil \frac{i \times m}{k} \right\rceil \times \frac{k}{m} \right\rfloor \\ 0 & \text{sinon} \end{cases} \quad [6.3]$$

Le marquage ne dépend que du rapport  $m_i/k_i$ . Une condition suffisante est donnée dans [RAM 99] pour la garantie déterministe de contrainte (m<sub>i</sub>,k<sub>i</sub>)-firm.

Cet algorithme souffre néanmoins trois problèmes:

- Le premier client de chaque source est marqué critique par défaut. Ce qui force artificiellement le système de se retrouver dans un « pire cas ».
- L'équation 3 distribue régulièrement les  $m$  clients critiques parmi les  $k$  arrivées consécutives. Ce qui peut ne pas être optimal dans certaines situations.
- La technique de marquage ne dépend que du rapport  $m_i/k_i$ , mais pas de  $C_i$  et  $T_i$ . Deux sources ayant des  $C_i$  et  $T_i$  très différents mais avec la même contrainte (m,k)-firm relèveront du même  $\kappa$ -pattern et donc se verront leur clients critiques distribués de la même façon. Le fait de ne pouvoir les distinguer peut conduire à une situation non optimale.

Partant de l'idée qu'une répartition judicieuse et globale des clients critiques de toutes les sources devrait donner une meilleure ordonnancabilité, [QUA 00] a amélioré l'algorithme présenté dans [HAM 97] et [RAM 99]. Il a d'abord prouvé que trouver une répartition optimale est NP-difficile. Puis, il donne une heuristique

pour optimiser la répartition de  $m_i$  clients critiques parmi  $k_i$  clients consécutifs en prenant en compte les relations entre les sources. Dans [JIA 05], un algorithme basé sur la ligne cellulaire et les propriétés des mots mécaniques a été proposé et qui donne des résultats encore meilleurs.

#### 6.4. (m,k)-WFQ pour une meilleure gestion de la QoS temps réel

L'ordonnanceur WFQ (Weighted Fair Queueing) [PAR 93] est déployé dans les commutateurs et routeurs du réseau Internet pour fournir de la QoS grâce à ses propriétés de garantie de bande passante et de délai borné pour des flux  $(\sigma, \rho)$ -bornés. L'algorithme (m,k)-WFQ [KOU 04a], [KOU 04b] consiste à intégrer les contraintes temporelles (m,k)-firm au processus d'ordonnement de WFQ. Nous faisons d'abord un rappel du principe de WFQ afin d'expliquer ensuite l'apport de (m,k)-WFQ.

WFQ garantit à chaque flux servi la proportion de la bande passante réservée selon son coefficient de partage  $\Phi_i$ . Chaque paquet de messages est estampillé par un tag appelé temps virtuel de départ. Le serveur sélectionne toujours le paquet dont le temps virtuel de départ est le premier à partir de l'instant de sélection. Dans WFQ le temps virtuel de départ est défini par :

$$F_i^k = \max\{F_i^{k-1}, V(t)\} + \frac{L_i^k}{\Phi_i} \quad [6.4]$$

avec

- $F_i^k$  : temps virtuel de départ du  $k^{ième}$  paquet du  $i^{ième}$  flux,
- $V(t)$  : le temps virtuel quand le  $k^{ième}$  paquet arrive,
- $\Phi_i$  : le coefficient de partage du  $i^{ième}$  flux,
- $L_i^k$  : la taille du  $k^{ième}$  paquet du  $i^{ième}$  flux,
- $\max\{F_i^{k-1}, V(t)\}$  : le temps virtuel du début de service du  $k^{ième}$  paquet.

Avec WFQ, il est montré dans [LEB 02] que pour un flux  $\tau_i$  de type  $(\sigma_i, \rho_i)$ -borné et ayant un débit moyen réservé  $g_i \geq \rho_i$ , le délai garanti par WFQ à ce flux est borné par :

$$D_{i, \max} = \frac{\sigma_i}{g_i} + \frac{L_{\max}}{c} \quad [6.5]$$

où  $L_{\max}$  est la taille maximale du paquet parmi tous les paquets dans tous les flux et  $c$  la capacité de traitement du serveur (bit/s).

Nous rappelons qu'un flux est dit  $(\sigma, \rho)$ -borné si sa fonction cumulative d'arrivée  $R(t)$  vérifie la relation  $\forall 0 \leq s \leq t, R(t) - R(s) \leq \sigma + \rho(t-s)$  avec  $\sigma$  la taille maximale de rafale et  $\rho$  le débit moyen à long terme.

La borne fournie par WFQ sur le temps de réponse d'une source de flux est étroitement liée au coefficient de partage de la bande passante  $\rho_i$  et à la taille de la rafale  $\sigma_i$ . Pour avoir un délai d'attente court, un flux doit réserver une large bande passante. Pour un flux de faible débit moyen et ayant une grande rafale ceci peut conduire à une mauvaise utilisation de la bande passante. Ce problème peut être résolu avec la politique WFQ priorisé proposé dans [WAN 02] mais la notion de (m,k)-firm n'est pas prise en compte.

Pour que l'ordonnanceur WFQ puisse prendre en compte les contraintes temporelle (m,k)-firm, nous exprimons la contrainte par un  $\kappa$ -pattern, donc la source marque  $m$  paquets critiques parmi tous les  $k$  paquets consécutifs et les autres étant optionnels. L'ordonnanceur (m,k)-WFQ estampille ensuite le paquet par son temps virtuel de départ décrit par l'équation 6.4. L'algorithme est décrit dans la figure 6.4. Le processus de service est activé quand au moins un paquet existe dans la file d'attente du système. Le serveur sélectionne le paquet ayant le plus petit temps virtuel de départ parmi tous les paquets critiques présents en tête de files. Si aucun paquet critique existe, le choix sera fait parmi les paquets optionnels. Puis, si le paquet sélectionné est critique, il est exécuté (ou transmis) directement par le serveur, tandis que si le paquet est optionnel, l'ordonnanceur vérifie avant son exécution si ce paquet pourrait éventuellement satisfaire son échéance. Si l'échéance souhaitée ne peut être garantie après l'exécution, le serveur rejette le paquet et refait une nouvelle sélection, sinon, il l'envoie.

L'avantage de l'algorithme proposé est qu'il permet de garantir une bande passante à un flux tout en intégrant les propriétés temporelles dans le processus d'ordonnancement ce qui revient à gérer les flux plus efficacement. En effet, le rejet des paquets optionnels qui ne satisfont pas leurs échéances permet au serveur de donner la main plus rapidement aux paquets critiques en attente. Cette perte ne dégrade pas les performances des flux servis tant que leurs contraintes  $(m_i, k_i)$ -firm sont satisfaites. Ainsi, (m,k)-WFQ diminue forcément les bornes sur les temps de réponse des flux temps réel par rapport à WFQ standard. Dans ce qui suit nous montrons quantitativement cette amélioration par simulation d'un exemple.

Considérons un réseau constitué de trois sources de trafic. Ces trois sources partagent un lien de 10 Mbit/s selon leurs coefficients de réservation. Dans cette simulation, on considère une taille fixe à tous les paquets des trois flux de 8 *Kbits*. Le tableau 6.2 récapitule les paramètres de simulation pour chacun des flux.



```

Entrées
Flux  $\tau_i = \{(Période \text{ ou Débit}), \text{Echéance Désirée}, (m_i, k_i),$ 
(Gigue ou Rafale), Taille de Paquet)

Affectation de priorité
A l'arrivée du  $a^{i\text{ème}}$  paquet du flux [i] {
  si ( $\pi(a\%k_i)=1$ ) alors {
    Marquer le paquet comme critique;
  }
  sinon {
    Marquer le paquet comme optionnel;
  }

  Calculer le temps virtuel de départ  $F_i^k$ ;

  Estampiller le paquet avec  $F_i^k$ ;
  Mettre le paquet dans sa file d'attente;
}

Discipline de Service
Serveur = libre;
Tant que (la file est non vide) {
  si (serveur!= occupé) {
    Choisir le paquet dont  $F_i^k$  est le plus petit
    si (paquet est critique) {
      Envoyer le paquet;
      Serveur = occupé;
    }
    sinon { //Paquet Optionnel
      si (l'échéance serait ratée){
        Rejet du paquet;
        Serveur = libre;
      }
      sinon {
        Envoyer le paquet;
        Serveur = occupé;
      }
    }
  }
  si (serveur== occupé) {
    attendre jusqu'à transmission totale du paquet;
    Serveur= libre;
  }
}

```

Figure 6.4. *Algorithme (m,k)-WFQ*

Le marquage de paquets en critiques et optionnels est spécifié par un  $\kappa$ -pattern fixe pour chaque source.

	(m,k)	Débit	Trafic	$\kappa$ -pattern	Echéance
<b>Voix</b>	(4,5)	64 kb/s	ON/OFF (500/755/50)ms	11011	10 ms
<b>Vidéo</b>	(3,5)	2Mb/s	Périodique avec gigue ~2Mb/s	10110	4 ms
<b>FTP</b>	(0,1)	7,936 Mb/s	Périodique avec gigue ~7.936 Mb/s	0	Infinie

**Tableau 6.2.** Configuration simulée

La première source génère un flux de voix selon le modèle de trafic ON/OFF. Les périodes d'activité ON et de silence OFF sont exponentiellement distribuées avec les moyennes  $1/\mu_{ON} = 500ms$  et  $1/\mu_{OFF} = 755ms$  avec une période de génération de paquets dans la période d'activité de 50 ms. Donc, le débit moyen du flux est de 64 Kb/s. Les contraintes temporelles sont de type (4,5) et l'échéance souhaitée d'un paquet est fixée à 10 ms. Le  $\kappa$ -pattern fixe le profil de la séquence comme : 11011 11011 11011 ...

La deuxième source est une source CBR (Constant Bit Rate ) périodique avec gigue (95% de  $T_r-C_i$ ) qui génère un flux vidéo de 2 Mbit/s. L'échéance des paquets est fixée à 4 ms avec une garantie de type (3,5). Le  $\kappa$ -pattern fixe le profil de la séquence comme : 10110 10110 10110 ...

La troisième source est un agrégat de flux FTP, que nous supposons périodique avec gigue (95% de  $T_r-C_i$ ) et qui consomme le reste de la bande passante ayant donc un débit de 7,936 Mb/s. Un flux FTP est vulnérable à la perte de paquets et ce trafic fonctionne en mode Best-Effort. Donc, il ne possède pas de propriétés temporelles strictes comme dans le cas des deux sources temps-réel : Voix et Vidéo. Par conséquent, nous fixons une garantie de type (0,1) pour le flux FTP et une échéance infinie afin d'éviter tout rejet de paquets FTP optionnels.

Le tableau 6.3 montre les bornes mesurées sur le temps de réponse des paquets pour chacun des flux et ce pour le serveur (m,k)-WFQ, le serveur WFQ, le serveur (m,k)-FIFO et le serveur FIFO. Les cas du serveur FIFO et (m,k)-FIFO sont simulés pour que l'on puisse les comparer avec le cas du serveur (m,k)-WFQ. Un serveur (m,k)-FIFO est simplement un serveur FIFO avec le rejet des paquets optionnels ayant leur échéances ratées.

	(m,k)-WFQ	WFQ	(m,k)-FIFO	FIFO
<b>Voix</b>	9,769 (taux de rejet = 6,8%)	2428,031	20,529	48,031
<b>Vidéo</b>	3,999 (taux de rejet = 5,5%)	55,391	21,086	49,031
<b>FTP</b>	9,696	36,562	21,442	49,083

Tableau 6.3. Bornes sur les temps de réponse (ms)

Comme prévu, (m,k)-WFQ fournit une garantie plus étroite sur le délai pour les flux temps-réel. Dans ce scénario, on peut remarquer que le délai maximal garanti par WFQ au trafic de la voix est assez grand. Ce résultat découle de deux facteurs majeurs (cf. équation 6.5) : le faible taux de bande passante réservée (64 Kbit/s) et la taille importante de la rafale. L'algorithme (m,k)-WFQ permet de réduire considérablement les bornes sur les temps de réponse en sacrifiant quelques paquets optionnels selon les contraintes temporelles (m,k)-firm de chaque flux. Le rejet des paquets optionnels ne satisfaisant pas leurs échéances améliore nettement le délai des paquets critiques. En comparant (m,k)-WFQ avec la politique (m,k)-FIFO, on peut aussi constater que (m,k)-WFQ conserve la bonne propriété de WFQ en terme de distinction des flux (garantie par flux).

Pour fournir la garantie déterministe de (m,k)-firm dans (m,k)-WFQ, nous donnons la borne sur le temps de réponse de (m,k)-WFQ. L'évaluation de cette borne n'est pas triviale essentiellement à cause de la difficulté de déterminer la part de paquets optionnels que le serveur a effectivement servi. La figure 6.5 montre le modèle en « network calculus » qui a permis le calcul de cette borne.

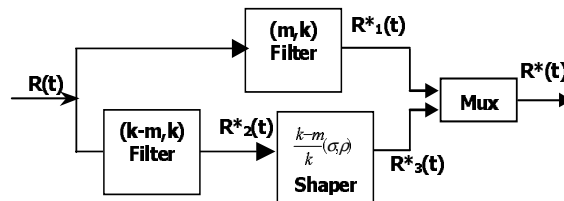


Figure 6.5. Modèle de « Network calculus »

Le calcul de la borne sur le temps de réponse utilise le formalisme du Network Calculus [LEB 02]. Dans [KOU 04a] nous avons intégré les contraintes (m,k)-firm dans le formalisme du Network Calculus en introduisant la notion du (m,k)-filtre qui

permet de filtrer tous les paquets optionnels et fournir en sortie seulement les paquets critiques. La figure 6.5 montre la technique pour modéliser le *flux effectif* qui devra être servi par un serveur, garantissant un débit fixé tel que celui de WFQ. Le flux effectif contient tous les paquets critiques et le nombre maximum de paquets optionnels qui pourront être servis par l'ordonnanceur. Les paquets optionnels servis sont ceux qui ne ratent pas leurs échéances. Ce flux effectif est utilisé pour le calcul de la borne sur le délai garanti par (m,k)-WFQ.

Le délai maximal garanti pour une source  $(\sigma, \rho)$ -borné respectant une contrainte temporelle (m,k)-firm avec un taux de partage de bande passante  $g \geq \rho$  et servi par un ordonnanceur (m,k)-WFQ est :

$$D_{\max}^* = \lambda_{m,k} \cdot \frac{\sigma}{g} + \lambda_{k-m,k} \cdot \frac{e}{g} + \frac{L_{\max}}{c} \quad [6.6]$$

Avec  $e \leq \sigma$  la taille maximale de rafale des paquets optionnels qui pourraient être transmis par l'ordonnanceur.  $\lambda_{m,k}$  désigne le taux de bits critiques du flux et  $\lambda_{k-m,k}$  le taux de bits optionnels du flux. Dans le cas où la taille du paquet est constante  $\lambda_{m,k} = \frac{m}{k}$ . Si aucun paquet optionnel n'est servi,  $D_{\min}^* = \lambda_{m,k} \cdot \frac{\sigma}{g} + \frac{L_{\max}}{c}$  est la plus petite borne sur le délai. Pour garantir un délai entre  $D_{\min}^*$  et  $D_{\max}^*$ , on peut alors ajuster l'échéance maximale  $D_{op}$  qui détermine  $e = gD_{op}$ .

L'algorithme (m,k)-WFQ peut être étendu et intégré dans Intserv et le réseau ATM. L'idée de base est que chaque source voulant profiter d'une garantie avec dégradation adaptée doit marquer ses paquets en tant que optionnel ou critique selon sa contrainte (m,k)-firm et son  $\kappa$ -pattern associé. L'ordonnanceur WFQ qui garantit le débit dans le cadre du service garanti, doit tenir compte de cette classification. Les paquets optionnels dont l'échéance ne peut être respectée sont rejetés. (m,k)-WFQ permet alors de garantir des bornes sur le délai plus précises et d'une manière plus flexible. Pour une source ayant un trafic défini par le TSPEC (M,p,b,r) de Intserv et d'ATM avec  $M$  la taille maximale d'un paquet,  $p$  le débit crête,  $b$  la taille maximale de la rafale autorisée et  $r$  le débit moyen à long terme associé à la contrainte (m,k)-firm et autorisant un délai maximal pour les paquets optionnels égal à  $D_{op}$ , le délai maximal  $D_{\max}$  a été obtenu dans [KOU 04b] de façon similaire à l'obtention de l'équation 6.6.

### 6.5. Garantie déterministe et condition suffisante de DBP

On vient de voir que beaucoup d'algorithmes d'ordonnement ont été proposés pour fournir une garantie en moyenne (best-effort) et déterministe du

temps réel (m,k)-firm. S'il est vrai que par rapport à la garantie déterministe du temps réel dur, le fait de ne plus viser que garantir en moyenne  $m$  échéances parmi les  $k$  instances consécutives d'une tâche résulte en moins de demande de ressources en moyenne, il n'est pas évident que cet avantage est toujours conservé lorsqu'on cherche une garantie déterministe de (m,k)-firm. Cette question est fondamentale pour savoir si un algorithme d'ordonnancement pour (m,k)-firm peut apporter des avantages par rapport à un algorithme connu (EDF, FP, ...) pour le temps réel dur avec garantie déterministe. Le point clé pour répondre à cette question est la recherche de conditions suffisantes d'ordonnancabilité. Un ensemble de sources  $\tau = (\tau_1, \tau_2, \dots, \tau_N)$  (dans le modèle MIQSS) ordonnancable respecte alors la contrainte (m,k)-firm de façon déterministe car l'analyse d'ordonnancabilité est réalisée dans le pire cas.

Le cas de (m,k)-WFQ donne relativement simplement cette garantie déterministe grâce à WFQ qui transforme en fait un serveur partagé en  $N$  serveurs dédiés à  $N$  sources, avec comme facteur d'interférence la longueur maximale d'un paquet  $L_{max}$ . L'obtention d'une condition suffisante dans un modèle MIQSS avec non préemption est en général un problème difficile.

Dans ce paragraphe, nous donnons d'abord un état de l'art sur ce problème de recherche de conditions suffisantes pour l'ordonnancement non préemptif, puis une condition suffisante pour la garantie déterministe du temps réel (m,k)-firm avec l'ordonnancement NP-DBP-EDF (Non Preemptive - Distance Based Priority - Earliest Deadline First) [LI 03], [LI 04].

### 6.5.1. *Etat de l'art sur les conditions suffisantes*

Nous commençons par nous intéresser à la condition suffisante pour la garantie déterministe (k,k)-firm (i.e. temps réel dur). Pour un ensemble de sources périodiques ou sporadiques  $\tau = (\tau_1, \tau_2, \dots, \tau_N)$  avec  $\tau_i = \{T_i, C_i, D_i\}$  et des dates initiales quelconques, [Jeffay91] a donné un ensemble de conditions suffisantes et nécessaires d'ordonnancabilité sous EDF non préemptif (noté par NP-EDF : Non-Preemptive EDF). Dans la suite de ce paragraphe nous supposons que le temps est discrétisé et indexé par les entiers. Nous supposons également que l'échéance est égale à la période (ou à l'intervalle d'interarrivée minimal s'il s'agit du cas sporadique).

THÉORÈME de [JEF 91].— *Considérons un ensemble de  $N$  sources périodiques ou sporadiques  $\tau = (\tau_1, \tau_2, \dots, \tau_N)$  avec  $\tau_i = \{T_i, C_i, D_i\}$  classées dans l'ordre non-décroissant des périodes (i.e. pour deux sources  $\tau_i, \tau_j$ , si  $i < j$ , alors  $T_i \leq T_j$ ) et  $D_i = T_i$ . Si  $\tau$  est ordonnançable, on a :*

$$C1: \sum_{i=1}^N \frac{C_i}{T_i} \leq 1$$

$$C2: \forall i, 1 < i \leq N; \forall L, T_1 < L < T_i: \quad L \geq C_i + \sum_{j=1}^{i-1} \left\lfloor \frac{L-1}{T_j} \right\rfloor C_j$$

Si  $\tau$  satisfait les conditions C1 et C2 ci-dessus, alors NP-EDF peut ordonnancer n'importe quel ensemble concret généré à partir de  $\tau$ . C'est à dire  $\tau_i$  avec une date initiale  $r_i$ .

Le sens de C1 est clair. C'est la charge globale normalisée qui ne doit jamais dépasser 1. Une autre interprétation de C1 peut être que pour un intervalle de temps quelconque, la demande de traitement est toujours inférieure à la longueur de l'intervalle. C2 décrit une répartition extrême des flux d'arrivée : le client  $C_i$  occupe le serveur et tous les autres arrivent juste après une unité de temps (temps discret). Le serveur doit alors être capable de terminer le traitement de  $C_i$ , ainsi que le traitement des autres arrivées (représentées par le deuxième terme dans C2) sans dépasser une échéance.

Pour un ensemble  $\tau$  dans le modèle MIQSS on peut utiliser ce théorème pour dimensionner la capacité de traitement du serveur  $c$  ( $C_i = W_i/c$ ). Dans [LI 03] un algorithme est développé pour trouver le  $c$  minimal.

En ce qui concerne la garantie déterministe (m,k)-firm dans le modèle MIQSS, si nous considérons (m,k)-WFQ comme un cas particulier de MIQSS et DWCS [WES 04] comme étant trop restreint, un seul autre résultat proposé par [RAM 99] existe pour le cas de  $\kappa$ -pattern fixe selon l'équation 6.3 que nous instancions ici dans le modèle MIQSS pour prendre en compte les sources multiples.

Pour une source  $\tau_i = \{T_i, C_i, D_i, m_i, k_i\}$  le  $\kappa$ -pattern correspondant est une suite binaire de  $k_i$  bits  $\Pi_i = \{\pi_{i1}, \pi_{i2}, \dots, \pi_{ik_i}\}$ , qui satisfait : (1) le  $n^{ème}$  client est critique si

$$\pi_{i(n \neq k_i)} = 1 \text{ et optionnel si } \pi_{i(n \neq k_i)} = 0; (2) \sum_{j=1}^{k_i} \pi_{ij} = m_i .$$

Le  $\kappa$ -pattern proposé dans [RAM 99] est donné par :

$$\pi_{ij} = \begin{cases} 1 & \text{Si } j = \left\lfloor \left\lceil \frac{j \times m_i}{k_i} \right\rceil \times \frac{k_i}{m_i} \right\rfloor \\ 0 & \text{Sinon} \end{cases} \quad j=1,2,\dots,k_i \quad [6.7]$$

Les demandes de traitement critiques sont ordonnancées selon RM (Rate Monotonic). La condition suffisante est donnée par le théorème suivant.

THÉORÈME de [RAM 99].— *Considérons un ensemble de  $N$  sources périodiques ou sporadiques  $\tau = (\tau_1, \tau_2, \dots, \tau_N)$  avec  $\tau_i = \{T_i, C_i, D_i, m_i, k_i\}$  classées dans l'ordre non-décroissant des périodes (i.e. pour deux sources  $\tau_i, \tau_j$  si  $i < j$ , alors  $T_i \leq T_j$ ) et  $D_i = T_i$ . Définissons les termes ci-dessous :*

$$R_{ij} = \left\{ \left\lfloor l \cdot \frac{k_i}{m_i} \right\rfloor T_j : \left\lfloor l \cdot \frac{k_i}{m_i} \right\rfloor T_j < T_i, l \in \mathbb{Z}_+ \right\}$$

$$R_i = \bigcup_{j=1}^{i-1} R_{ij}$$

$$n_j(t) = \left\lfloor \frac{m_j}{k_j} \left\lceil \frac{t}{T_j} \right\rceil \right\rfloor$$

$$W_i(t) = C_i + \sum_{j=1}^{i-1} n_j(t) \cdot C_j$$

Si  $\min_{t \in \mathbb{R}_+} W_i(t)/t \leq 1$  pour tout  $1 \leq i \leq N$ , alors la politique RM respecte de façon déterministe toutes les contraintes  $(m_i, k_i)$ -firm.

Dans la pratique pour un ensemble de source  $\tau = (\tau_1, \tau_2, \dots, \tau_N)$  avec dates initiales quelconques, trouver la capacité du serveur  $c$  minimale requise pour la garantie déterministe selon ce théorème est NP-difficile [QUA 00].

Dans [QUA 00] des algorithmes heuristiques sont proposés. Afin de minimiser la charge instantanée dans le pire cas (qui permet de diminuer la demande en  $c$ ), [QUA 00] propose de répartir plus uniformément les  $m_i$  parmi les  $k_i$  en faisant la rotation des  $m_i$  selon l'équation suivante.

$$\pi_j = \begin{cases} 1 & \text{si } j - s_i = \left\lfloor \left\lceil \frac{((j-1) - s_i) \times m_i}{k_i} \right\rceil \times \frac{k_i}{m_i} \right\rfloor + 1 \\ 0 & \text{sinon} \end{cases} \quad j=1, 2, \dots, k_i \quad [6.8]$$

où  $s_i$  est le nombre de périodes obtenues par le décalage circulaire vers la droite.

Un algorithme heuristique choisit une valeur de  $s_i$  provoquant ainsi moins d'interférence de demandes d'exécution par rapport à l'algorithme de [RAM 99]. Ce principe de rotation ne change pas de  $\kappa$ -pattern vis à vis d'une source mais change simplement la répartition dans l'axe du temps des demandes d'exécution critiques de  $N$  sources. En réalité, cette rotation veut introduire une sorte de  $\kappa$ -pattern dynamique. De ce point de vue DBP le fait plus facilement par l'affectation de priorité en-ligne.

### 6.5.2. Condition suffisante pour NP-DBP-EDF

Par rapport à NP-EDF dans [Jeffay91], NP-DBP-EDF introduit une variable supplémentaire qui est la valeur de DBP à l'instant  $t$ . Pour un client de la source  $\tau_i$  sa priorité DBP est calculée selon l'équation 2 et on la note par  $DBP_j(t)$ . A un instant  $t$ , l'ensemble des clients peut être classé en trois classes suivantes :

Priorité 1 : Le client en cours de service dans le serveur

Priorité 2 : Les clients en attente avec  $DBP_j(t) = 1$ , i.e., ces clients doivent être exécutés par le serveur et terminer leur service avant leurs échéances respectives, sinon la garantie (m,k)-firm sera violée

Priorité  $2+i$  : Les clients en attente avec  $DBP_j(t) = i$  ( $i > 1$ ), i.e., un tel client sera exécuté si le serveur est disponible et si l'exécution peut terminer avant son échéance, sinon il sera écarté par le serveur et le prochain client de la source aura sa priorité augmentée :  $DBP_j(t+T_j) = DBP_j(t)-1$

Nous rappelons qu'en cas d'égalité de priorité DBP, EDF est utilisé.

La condition suffisante est donnée par le théorème suivant (cf. [LI 03] pour la preuve).



THÉORÈME de [LI 03].— *Considérons un ensemble de  $N$  sources périodiques ou sporadiques  $\tau = (\tau_1, \tau_2, \dots, \tau_N)$  avec  $\bar{\tau} = \{T_i, C_i, D_i, m_i, k_i\}$  classées dans l'ordre non-décroissant des périodes (i.e. pour deux sources  $\bar{\tau}_i, \bar{\tau}_j$ , si  $i < j$ , alors  $T_i \leq T_j$ ) et  $D_i = T_i$ . Si  $\tau$  satisfait les conditions C1 et C2 suivantes durant un intervalle de temps  $L$  quelconque, NP-DBP-EDF peut alors ordonnancer tout ensemble concret  $\tau'$  généré par  $\tau$ . C'est à dire qu'il n'y aura aucune violation de contrainte  $(m_i, k_i)$ -firm pour  $i = 1, 2, \dots, N$ .*

C1:

$$\sum_{i \in U} \left( \left\lfloor \frac{L}{k_i T_i} \right\rfloor m_i + \text{Min} \left( \left\lfloor \frac{L - k_i T_i \left\lfloor \frac{L}{k_i T_i} \right\rfloor}{T_i} \right\rfloor, m_i \right) \right) C_i +$$

$$\sum_{j \in \tau - U} \left( \left\lfloor \frac{L - 1 - (DBP_j(t) - 2)T_j}{k_j T_j} \right\rfloor m_j + \text{Min} \left( \left\lfloor \frac{(L - 1 - (DBP_j(t) - 2)T_j) - k_j T_j \left\lfloor \frac{L - 1 - (DBP_j(t) - 2)T_j}{k_j T_j} \right\rfloor}{T_j} \right\rfloor, m_j \right) \right) C_j \leq L$$

C2:  $\forall i, \forall L, L > \min(T_i)$

$$\left( \left( \left\lfloor \frac{L - C_i}{k_i T_i} \right\rfloor m_i + 1 \right) + \text{Min} \left( \left\lfloor \frac{L - C_i - \left\lfloor \frac{L - C_i}{k_i T_i} \right\rfloor k_i T_i}{T_i} \right\rfloor, -1, m_i - 1 \right) \right) C_i +$$

$$\sum_{j \in \tau - \bar{\tau}_i} \left( \left\lfloor \frac{L - 1 - (DBP_j(t) - 2)T_j}{k_j T_j} \right\rfloor m_j + \text{Min} \left( \left\lfloor \frac{(L - 1 - (DBP_j(t) - 2)T_j) - k_j T_j \left\lfloor \frac{L - 1 - (DBP_j(t) - 2)T_j}{k_j T_j} \right\rfloor}{T_j} \right\rfloor, m_j \right) \right) C_j \leq L$$

Où  $U$  est l'ensemble de clients de DBP = 1 qui peuvent arriver au même instant  $t$  et  $\tau - U$  l'ensemble des autres clients. Dans le pire cas cet ensemble  $U$  peut inclure un client de chaque source et  $\tau - U = \emptyset$  (ensemble vide). Dans la pratique pour un ensemble concret  $\tau'$ , ce pire cas peut ne jamais être atteint.

En fait, cette expression de condition suffisante est celle de NP-EDF avec une variable qui est  $DBP_j(t)$ .

Nous avons démontré [LI 03] par ailleurs que pour un système avec des valeurs de  $m_i$  et  $k_i$  quelconques (avec  $m_i < k_i$  pour  $i = 1, 2, \dots, N$  qui représente le

numéro de source), cette condition suffisante peut être équivalente à la condition définie dans le cas du temps réel dur : (k,k)-firm.

Pour un ensemble concret de sources, un programme développé dans [LI 03] peut être utilisé pour évaluer la différence en terme de demande de capacité de traitement du serveur entre (m,k)-firm et (k,k)-firm.

Les Figure 6.6 et 6.7 montrent ce qu'on peut obtenir par ce programme pour le cas concret du tableau 6.4. L'abscisse représente un intervalle de temps  $L$  et l'ordonnée la demande de serveur devant être exécutée avant la fin de l'intervalle de temps  $L$  (i.e. arrivée cumulative du travail). Dans chaque figure la courbe supérieure correspond à la demande de (k,k)-firm et celle inférieure correspond à la demande de (m,k)-firm. On a supposé que toutes les  $DBP_i(t) = 1$  (le pire cas) pour (m,k)-firm.

	contrainte (m,k)	$C_i$	$T_i = D_i$
Source 1	(2,5)	8	12
Source 2	(4,5)	10	20
Source 3	(3,6)	2	5
Source 4	(1,5)	4	6

Tableau 6.4. Un cas concret du MIQSS

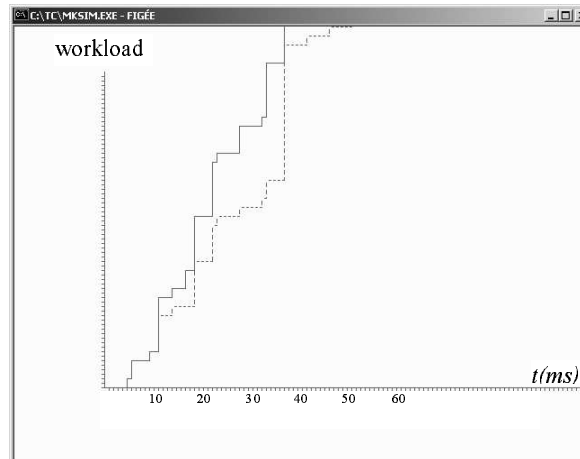


Figure 6.6. Différence en demande de serveur entre conditions 1 de [LI 03] et de [JEF 91]

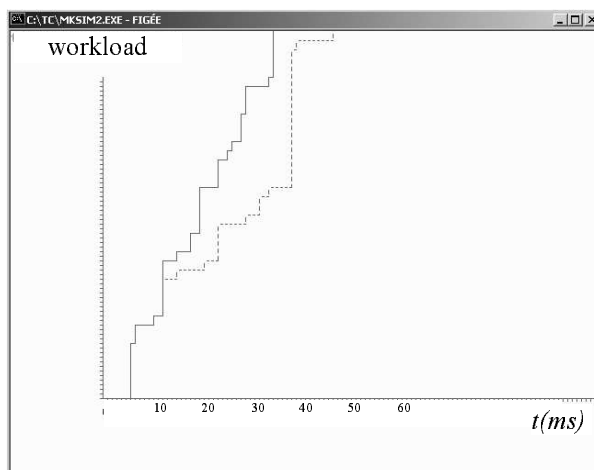


Figure 6.7. Différence en demande de serveur entre conditions 2 de [LI 03] et de [JEF 91]

On peut constater que la demande de serveur de  $(m,k)$ -firm ne dépasse jamais celle de  $(k,k)$ -firm mais les deux courbes se superposent pour des petites valeurs de  $L$ .

Dans l'absolu, la garantie déterministe d'un ensemble de sources avec contraintes  $(D_i, m_i, k_i)$  dans le modèle MIQSS nous oblige de prendre en compte le pire cas. Si aucune contrainte n'est imposée sur le choix des valeurs de  $m_i$  et  $k_i$ , ce pire cas peut correspondre à une exigence des contraintes  $(D_i, k_i, k_i)$ . C'est le cas de EFP (prouvé dans [QUA 00]), de DWCS (prouvé dans [MOK 01]) et de DBP (prouvé dans [LI 03]). Ce qui rend le modèle  $(m,k)$ -firm moins intéressant lors du dimensionnement du serveur. Face à ce problème, trois pistes sont possibles. La première piste consiste à rechercher des solutions sous-optimales par des méthodes heuristiques [QUA 00], [JIA 05]. Cette approche peut ne pas convenir si l'ordonnancement en-ligne est demandé. La seconde piste consiste à spécialiser/contraindre l'ensemble de sources pour éviter la superposition des deux courbes (figures 6.6 et 6.7). Par exemple, dans [WES 04], en imposant la même durée de transmission et la même période pour toutes les sources, le facteur d'utilisation du serveur est amélioré. Néanmoins, le modèle des sources est tellement particulier qui empêche son application dans un contexte plus général que la gestion des serveurs multimédias. La troisième piste consiste à étendre le modèle  $(m,k)$ -firm. Un exemple est donné dans [ZHA 04]. Cette piste est très prometteuse et constitue en notre recherche future.

## 6.6. Conclusion et perspectives

Dans ce chapitre nous avons d'abord montré, par rapport à la fois à la technique de réservation selon le pire cas et à la garantie en moyenne ou probabiliste, que le modèle (m,k)-firm constitue en une alternative intéressante dans la gestion de la QoS avec dégradation contrôlée (graceful QoS degradation) pour des flux temps réel « firm ». L'algorithme (m,k)-WFQ en est une bonne illustration. De nombreux d'autres exemples d'utilisation du modèle (m,k)-firm pour la gestion de la QoS existent [HAM 95], [HAM 97], [WES 04], [ZHA 04], [WAN 01], [STR 00] [STR 03]. Ensuite, les limites de ce modèle, lors qu'une garantie déterministe est exigée, ont aussi été discutées. Nous avons indiqué que l'extension du modèle (m,k)-firm constitue en une piste de recherche prometteuse.

Le modèle (m,k)-firm et la notion de la QoS avec dégradation contrôlée s'appliquent également aux systèmes temps réel adaptatifs sous contraintes temps réel « firm », et plus particulièrement aux systèmes contrôlés en réseaux (Networked Control Systems). En effet par rapport à la conception des lois de commande adaptatives en fonction de la variation de la QoS dans un système de contrôle-commande distribué, qui est basée sur une métrologie explicite en temps réel de la QoS du réseau [MIC 03], une approche utilisant par exemple DBP a l'avantage d'être simple car la « métrologie » de la QoS du système (certes se réduit au seul paramètre qui est équivalent à la charge) est réalisée implicitement par la k-séquence qui peut être considérée comme un historique de la QoS du réseau. Parmi les algorithmes d'ordonnancement sous contrainte (m,k)-firm, nous préférons les algorithmes dynamiques tels que DBP et DWCS aux algorithmes utilisant un  $\kappa$ -pattern fixe. Ceci pour essentiellement deux raisons : la capacité d'adaptation en ligne à la variation d'état du système (variation en flux d'entrée, en capacité de traitement du serveur, ...) et le potentiel de mieux utiliser le serveur dans le modèle MIQSS. Cette dernière est simple à comprendre. Considérons une source ayant déjà les  $m$  premiers clients servis. Le serveur, en cas de surcharge, peut ne pas servir les  $k-m$  clients suivants tout en satisfaisant la contrainte de (m,k)-firm. Tandis qu'avec un  $\kappa$ -pattern fixe, le serveur ayant déjà servi les  $m$  premiers clients (critiques et optionnels) risque de continuer à servir encore des clients s'il y a des clients critiques dans les  $k-m$  clients suivants selon le  $\kappa$ -pattern.

Fournir des mécanismes de gestion de la QoS appropriés dans un système temps réel adaptatif (incertitude de charges et de ressources) reste encore un problème ouvert [ART 03].

## 6.7. Bibliographie

- [ART 03] ARTIST Project IST-2002-34820, “Adaptive Real-Time Systems for Quality of Service Management”, <http://www.systemes-critiques.org/ARTIST/Roadmaps/>, May 6th 2003.
- [BER 01] Bernat, G., A. Burns and A. Llamosi, “Weakly-hard real-time systems”, *IEEE Transactions on Computers*, 50(4), pp.308-321, April 2001.
- [BER 97] Bernat G. and A. Burns, “Combining (n, m)-hard deadlines and dual priority scheduling”, *Proceedings of Real-Time Systems Symposium*, pages 46–57, Dec 1997.
- [BOL 95] Bolot, J. C., Crépin, H., Garcia, A. V., 1995, Analysis of Audio Packet Loss in the Internet, *Proceedings of Networks and Operating System Support for Digital Audio and Video*, 163-174.
- [CHA 00] Chang, C. S., *Performance Guarantees in Communication Networks*. New York: Springer-Verlag, 2000.
- [CHU 90] Chung, J.Y., Liu, J.W. and Lin, K.J., “Scheduling periodic jobs that allows imprecise results”, *IEEE Trans. on Computers*, 39(9):1156-1175, sep. 1990.
- [EL 03] El-Gendy, M.A., A. Bose, K.G. Shin, “Evolution of the Internet QoS and support for soft real-time applications”, *proceedings of the IEEE*, Vol.91, No.7, pp1086-1104, July 2003.
- [HAM 95] Hamdaoui M. and P. Ramanathan, “A dynamic priority assignment technique for streams with (m, k)-firm deadlines”, *IEEE Transactions on Computers*, 44(4), 1443–1451, Dec.1995.
- [HAM 97] Hamdaoui M. and P. Ramanathan, “Evaluating Dynamic Failure Probability for Streams with (m, k)-firm Deadline”, *IEEE Transactions on Computers*, 46(12), pp.1325–1337, Dec.1997.
- [ISO 03] Isovich, D., G. Fohler, , L. Steffens, “Timing Constraints of MPEG-2 Decoding for High Quality Video: Misconceptions and Realistic Assumptions”, *Proceedings of the 15th Euromicro Conference on Real-Time Systems (ECRTS 03)*, Porto (Portugal), 2003.
- [JIA 05] Jia, N., E. Hyon, Y.Q. Song, « Ordonnancement sous contraintes (m,k)-firm et combinatoire des mots », *RTS'2005*, Paris (France), April 5-6, 2005.
- [JEF 91] Jeffay, K., Stanat, D.F. and Martel, C.U., “On Non Pre-emptive Scheduling of Periodic and Sporadic Task”, *IEEE real-time systems symposium*, pp129-139, San Antonio (USA), Dec. 4-6, 1991.
- [KOU 04a] Koubâa, A., Song, Y.Q., “Loss-Tolerant QoS using Firm Constraints in Guaranteed Rate Networks”, *10th IEEE Real-Time and Embedded Technology and Applications (RTAS'2004)*, Toronto (Canada) 25-28 May 2004.
- [KOU 04b] Koubâa, A., « Gestion de la qualité de service temporelle selon la contrainte (m,k)-firm dans les réseaux à commutation de paquets », *Thèse de l'INPL*, Nancy, 27 octobre 2004.

- [LEB 02] Le Boudec, J.Y. and P. Thiran, *Network Calculus: A Theory of Deterministic Queueing Systems For The Internet*, Springer Verlag – LNCS 2050, July 2002.
- [LI 03] Li, J., « Sufficient condition for guaranteeing (m,k)-firm real-time requirement under NP-DBP-EDF scheduling », *Rapport de DEA d'informatique*, LORIA, Juin 2003.
- [LI 04] Li, J., Y.Q. Song, F. Simonot-Lion, « Schedulability analysis for systems under (m,k)-firm constraints », *WFCS2004*, Vienna (Austria), Sept. 22-24, 2004.
- [MIC 03] Michaut F., « Adaptation des applications distribuées à la Qualité de Service fournie par le réseau de communication », *Thèse UHP Nancy 1*, 26 Nov. 2003.
- [MOK 01] Mok, A.K. and W. R. Wang, “Window-Constrained Real-Time Periodic Task Scheduling”, *22nd IEEE Real-Time Systems Symposium (RTSS'01)*, pp15-24, London, England, December 03 - 06, 2001.
- [PAR 93] Parekh, A.K., R.G. Gallager, “A generalized processor sharing approach to flow control in integrated services networks: the single-node case”, *IEEE/ACM Transactions on Networking*, Volume 1, Issue 3, pp344-357, June 1993.
- [QUA 00] Quan G. and X. Hu, “Enhanced Fixed-priority Scheduling with (m, k)-firm Guarantee”, *Proc. Of 21st IEEE Real-Time Systems Symposium*, pp.79-88, Orlando, Florida, (USA), November 27-30, 2000.
- [RAM 99] Ramanathan P., “Overload management in Real-Time control applications using (m, k)-firm guarantee”. *IEEE Transactions on Parallel and Distributed Systems*, 10(6):549–559, June 1999.
- [STR 00] Striegel A., G. Manimaran, “Best-effort Scheduling of (m,k)-firm Real-time Streams in Multihop Networks”, *International Workshop of Parallel and Distributed Real-Time Systems (WPDRTS2000)*, Cancun (Mexico), May 1-2, 2000.
- [STR 03] Striegel A., G. Manimaran, “Dynamic class-based queue management for scalable media server”, *Journal of Systems and Software*, 66(2):119-128, May 2003.
- [WAN 01] Wang, F. and P. Mohapatra, “Using differentiated services to support Internet telephony”, *Computer communications*, Vol.24, Issue18, pp1846-1854, Dec. 2001.
- [WAN 02] Wang, S., Y. Wang, K. Lin, “Integrating Priority with Share in the Priority-Based Weighted Fair Queueing Scheduler for Real-Time Networks” *Journal of RTS*, p119-149, 2002.
- [WES 04] West, R., Y. Zhang, K. Schwan and C. Poellabauer, “Dynamic Window-Constrained Scheduling of Real-Time Streams in Media Servers”, *IEEE Transactions on Computers*, Volume 53, Number 6, pp. 744-759, June 2004.
- [WES 00] West, R. and K. Schawn, “Dynamic window-constrained scheduling for multimedia applications”, *6<sup>th</sup> International Conf. On Multimedia Computing and Systems, ICMCS'99*, IEEE, June 2000.
- [ZHA 04] Zhang, Y.T., R. West and X. Qi, “A Virtual Deadline Scheduler for Window-Constrained Service Guarantees”, in *Proceedings of the 25th IEEE Real-Time Systems Symposium (RTSS)*, December 2004.